

ВЛИЯНИЕ ГЕНА *aPKC*, КОДИРУЮЩЕГО АТИПИЧНУЮ ПРОТЕИНКИНАЗУ С, НА ПРОДОЛЖИТЕЛЬНОСТЬ ЖИЗНИ *D. melanogaster* ЗАВИСИТ ОТ УРОВНЯ ЭКСПРЕССИИ ПРОТЕИНКИНАЗЫ GSK3

© 2023 г. М. В. Тростников^{1,*}, Е. Р. Веселкина¹, Ю. А. Андреев¹, А. Ю. Хрячкова¹, Н. В. Рошина^{1,2}, Е. Г. Пасюкова¹

¹Институт молекулярной генетики Национального исследовательского центра

“Курчатовский институт”, Москва, 123182 Россия

²Институт общей генетики им. Н.И. Вавилова Российской академии наук, Москва, 119991 Россия

*e-mail: mikhail.trostnikov@gmail.com

Поступила в редакцию 21.02.2022 г.

После доработки 14.04.2022 г.

Принята к публикации 26.05.2022 г.

Гены *shaggy* и *aPKC Drosophila melanogaster* кодируют высококонсервативные протеинкиназы GSK3 (Glycogen Syntase Kinase 3) и aPKC (Protein Kinase C), играющие ключевую роль во многих клеточных процессах. Ранее мы продемонстрировали, что изменение экспрессии гена *shaggy* в нейронах влияет на продолжительность жизни. В настоящей статье показано, что изменение экспрессии гена *aPKC* в нейронах также влияет на продолжительность жизни. Изменение экспрессии двух протеинкиназ во всех нейронах самцов и самок и в мотонейронах самцов приводило к изменению продолжительности жизни, свидетельствующему об отсутствии влияния aPKC на GSK3 и возможном ингибирующем действии GSK3 на aPKC. В то же время изменение экспрессии двух протеинкиназ в мотонейронах самок приводило к изменению продолжительности жизни, свидетельствующему о существовании пока неясного механизма взаимодействия между этими белками. Выяснение механизмов взаимодействия между aPKC, GSK3 и другими их партнерами позволит углубить и расширить наши представления о причинах долголетия и способах продления жизни.

Ключевые слова: продолжительность жизни, нервная система, протеинкиназа aPKC, протеинкиназа GSK3, *Drosophila melanogaster*.

DOI: 10.31857/S0016675823010125, **EDN:** CNOZBD

В современной биологии старения одним из наиболее активно развивающихся направлений является поиск ключевых факторов, приводящих к сокращению продолжительности жизни и сопутствующих возрастным изменениям. Выявление наиболее эволюционно консервативных триггеров старения создает базу для поиска потенциальных способов влияния на этот процесс и для выяснения общебиологических закономерностей, лежащих в основе ограниченной продолжительности жизни. В широко цитируемой работе [1] были сформулированы основные фундаментальные механизмы старения: увеличение уровня геномной нестабильности, уменьшение протеостаза, сокращение длины теломер, нарушение эпигенетической регуляции, появление сенесцентных и истощение стволовых клеток, нарушение работы митохондрий, усиление окислительного стресса, ослабление пищевого баланса и ряд других факторов. Существуют ли среди многообразных ме-

ханизмов старения такие, которые инициируют развитие остальных? В ряде работ в качестве такого базового механизма рассматривается нарушение протеостаза, приводящее к накоплению агрегированных белков, неспособных корректно выполнять свою изначальную функцию, и ассоциированное с возрастными изменениями, средней продолжительностью жизни и широким спектром патологий [2].

Одним из наиболее устойчивых к протеолитическому стрессу типов клеток являются стволовые клетки, в которых выявлен повышенный уровень деградации белков с нарушенной структурой [3, 4]. Предполагается, что контроль протеостаза связан с зависимым от возраста распределением нарушенных белков между материнскими и дочерними клетками в процессе асимметричного деления стволовых клеток. Так, в старых стволовых клетках нервной ткани млекопитающих асимметрия в распределении поврежденных бел-

ков нарушается, в результате чего в дочерней клетке количество поврежденных белков увеличивается, нарушая ее функциональность [5].

Белки, контролирующие асимметричность клеточного деления, высоко консервативны, поэтому разумным является исследование взаимосвязи между молекулярными механизмами, регулирующими асимметричное деление клеток нервной системы и процесс старения, на модельных организмах с достаточно короткой продолжительностью жизни. К настоящему моменту одной из наиболее изученных моделей асимметричного деления является деление нейробластов плодовой мушки *Drosophila melanogaster* [6]. В процессе этого деления ось полярности определяется формированием и активностью комплекса, состоящего из атипичной протеинкиназы С (aPKC), а также белков Partitioning – defective 6 (Par-6) и Bazooka (Baz, гомолог Par-3 млекопитающих) [7]. В связи с изучением старения особый интерес представляет aPKC, поскольку у человека продемонстрировано изменение уровня ее экспрессии, ассоциированное с возрастом и развитием болезни Альцгеймера [8]. Такая ассоциация может быть обусловлена взаимодействием aPKC с протеинкиназой GSK3 [9]. Известно, что GSK3 участвует в работе различных метаболических путей, связанных с контролем продолжительности жизни и целого спектра патологий, среди которых особенно выделяются нарушения работы нервной системы [10, 11].

Ранее мы выяснили, что сильное или умеренное увеличение либо уменьшение экспрессии гена *shaggy* (*sgg*), кодирующего протеинкиназу GSK3, во всех нейронах уменьшает продолжительность жизни дрозофилы. В то же время нарушение экспрессии *sgg* в различных нейронах может приводить как к уменьшению, так и к увеличению продолжительности жизни в зависимости от направления и степени изменения экспрессии, типа нейронов и пола особей [12–14]. В настоящей статье мы показали, что уменьшение экспрессии гена *aPKC*, кодирующего протеинкиназу aPKC, в нервной системе также повлияло на продолжительность жизни дрозофилы. Изменение экспрессии двух протеинкиназ во всех нейронах самцов и самок и в мотонейронах самцов приводило к изменению продолжительности жизни, свидетельствующему об отсутствии влияния aPKC на GSK3 и возможном ингибирующем действии GSK3 на aPKC. В то же время изменение экспрессии двух протеинкиназ в мотонейронах самок приводило к изменению продолжительности жизни, свидетельствующему о существовании сложного и пока неясного механизма взаимодействия между исследуемыми протеинкиназами.

МАТЕРИАЛЫ И МЕТОДЫ

Линии дрозофилы

Линии $y[1]scf^*ly[1]; P\{y[+t7.7]v[+11.8]==TRiPHMC06305\}attP40$ (трансген aPKC_HD1) и $y[1]scf^*ly[1]; P\{y[+t7.7]v[+11.8]==TRiPHMS01\}689\}attP40$ (трансген aPKC_HD2) с трансгенами, локализованными во второй хромосоме, использовали для нокдауна гена *aPKC*, приводящего к уменьшению уровня экспрессии aPKC. Исходную линию без трансгенов $y[1]v[1]; P\{y[+t7.7]=CaryP\}attP40$ (контроль_aPKC) использовали в качестве контрольной в отношении нокдауна гена *aPKC* (<http://flystocks.bio.indiana.edu/Browse/TRiPtB.htm>).

Линию $w[1118]; P\{w[+mC]=UAS-sgg.B\}MB5$ (трансген *sggRB*) с трансгеном, локализованным в третьей хромосоме и кодирующим основной транскрипт гена *sgg*, *RB* [15], использовали для сверхэкспрессии гена *sgg* и увеличения уровня экспрессии GSK3. Исходную линию $w[1118]$ (контроль_sgg) без трансгена использовали в качестве контрольной в отношении сверхэкспрессии гена *sgg* [15].

Линии $P\{w+mW.hs=GawB\}elavC155w[1118]; P\{w+mC=UAS-Dcr-2.D\}2$ (драйвер Д1) и $w^*; P\{GawB\}D42$ (драйвер Д2) использовали для индукции экспрессии трансгенов во всех нейронах и в мотонейронах соответственно.

Измерение продолжительности жизни

Девственных самцов и самок каждого генотипа собирали в течение дня и помещали в пробирки с питательной средой (манная крупа, изюм, сахар, дрожжи, агар-агар, нипагин, пропионовая кислота), по пять мух каждого пола отдельно. Количество мертвых мух в пробирках регистрировали ежедневно; живых мух переносили на свежий корм раз в неделю; все культуры вели при 25°C. Выборка составила 50 особей на генотип/пол; опыты были повторены дважды. Для оценки полученных данных использовали стандартный статистический анализ продолжительности жизни [16, 17]. Для оценки статистической значимости различий между кривыми выживания использовали критерий Манна–Уитни.

Иммуногистохимический анализ

Личинок третьей стадии препарировали в натрий-fosфатном буфере (PBS) и фиксировали в 4%-ном параформальдегиде (Sigma-Aldrich) при комнатной температуре в течение 20 мин. Для иммуноокрашивания препараты помещали в блокирующий буфер (BlockPRO, Visual Protein Biotechnology Corporation) на один час при комнатной температуре, инкубировали с первичными антителами в течение ночи при 4°C, с вторичными антителами в течение двух часов и помещали в среду для иммунофлуоресценции (VectaShield, Vector

Labs). После каждой стадии обработки препараты промывали в фосфатном буфере (3×15 мин). Были использованы первичные антитела против Bruchpilot (DSHB), белка, специфического для зон активных синаптических контактов [18], и пероксидазы хрена (Jackson ImmunoResearch), белка, широко используемого в качестве маркера пресинаптических мембран [19]. Нейромышечные связки были проанализированы в четвертой мышце третьего и четвертого сегментов брюшной полости пятыи—семи личинок на генотип/пол с помощью конфокального лазерного сканирующего микроскопа (Zeiss LSM 900) и программ ImageJ (<http://rsb.info.nih.gov/ij/index.html>) и LSM Image Browser (Zeiss).

РЕЗУЛЬТАТЫ

Для анализа взаимодействия между генами *aPKC* и *sgg*, используя стандартные скрещивания с хромосомами-балансерами, мы получили линии, в геноме которых присутствовали первая хромосома *w/1118*; вторая хромосома с одним из трансгенов, уменьшающих уровень экспрессии протеинкиназы *aPKC*; и третья хромосома с трансгеном, увеличивающим уровень экспрессии протеинкиназы *GSK3*, а также соответствующие контрольные линии. Линии были названы контроль_*aPKC*+ +контроль_*sgg*, *aPKC_HD1*+контроль_*sgg*, *aPKC_HD2*+контроль_*sgg*; *aPKC_HD1+sggRB*, *aPKC_HD2+sggRB* в соответствии с обозначением трансгенов (см. раздел “Материалы и методы”). Во всех линиях подтвердили отсутствие *Wolbachia*, симбионта дрозофилы, способного повлиять на ее продолжительность жизни [20].

Для индукции экспрессии трансгенов во всех нейронах или в мотонейронах самцов каждой из полученных линий скрещивали с самками соответствующей линии-драйвера. У самцов и самок всех генотипов была охарактеризована продолжительность жизни. Результаты двух повторных опытов хорошо совпали между собой (табл. 1), несмотря на небольшой объем каждого опыта, что, видимо, объясняется сильно выраженным влиянием уровня экспрессии *aPKC* и *GSK3* на исследуемый признак. Это позволило нам ограничиться двумя повторностями и объединить их для представления результатов.

Уменьшение количества *aPKC* во всех нейронах снизило продолжительность жизни как самцов, так и самок (среднюю продолжительность жизни – на 68 и 35% в случае *aPKC_HD1* и на 54 и 13% в случае *aPKC_HD2*; табл. 1, рис. 1). Этот эффект существенно усилился в том случае, когда уменьшение количества *aPKC* во всех нейронах происходило на фоне увеличении количества *GSK3*. Среди самцов с одним из вариантов нокдауна гена *aPKC* и сверхэкспрессией гена *sgg* выжило всего несколько особей, продолжительность их жизни не превышала двух дней; кривая

выживания для этого случая не представлена (табл. 1, рис. 1,а). Самцы с другим вариантом нокдауна гена *aPKC* и сверхэкспрессией гена *sgg* выживали лучше, но средняя продолжительность их жизни не превышала трех дней (табл. 1, рис. 1,б). Средняя продолжительность жизни самок в обоих случаях также была крайне низкой (4 ± 0.2 дня; табл. 1, рис. 1,б, 1,г). Было показано, что *GSK3* способна фосфорилировать *aPKC* и таким образом ингибиовать ее [9]. Если это так, то у мух с нокдауном гена *aPKC* на фоне увеличения экспрессии *GSK3* должно было наблюдаться дальнейшее уменьшение экспрессии *aPKC* и дальнейшее снижение продолжительности жизни. Именно такой эффект мы наблюдали в наших экспериментах, что позволяет говорить о возможном ингибирующем действии *GSK3* на *aPKC* в нейронах в ходе контроля продолжительности жизни. В то же время дальнейшее снижение продолжительности жизни могло быть и следствием независимого, аддитивного влияния уменьшения активности *aPKC* и увеличения активности *GSK3* в нейронах.

Действительно, в ранее проведенном исследовании мы показали, что само по себе увеличение экспрессии гена *sgg*, кодирующего *GSK3*, во всех нейронах также приводило к очень существенному снижению средней продолжительности жизни самцов и самок, до 3 ± 0.1 и 7 ± 0.4 дней соответственно [13]. Средняя продолжительность жизни самцов и самок с увеличенной экспрессией *GSK3* во всех нейронах составила 4 и 9% от средней продолжительности жизни соответствующего контроля [13]. Результаты же, представленные в настоящей статье, показали, что средняя продолжительность жизни самцов и самок с увеличенной экспрессией *GSK3* на фоне уменьшенной экспрессии *aPKC* во всех нейронах составила в среднем 12 и 8% от средней продолжительности жизни соответствующего контроля. Известно, что *aPKC* может фосфорилировать и тем самым ингибировать *GSK3* [21]. В таком случае в наших опытах у мух с увеличенной экспрессией *GSK3* на фоне нокдауна гена *aPKC* должно было наблюдаться еще большее увеличение экспрессии *GSK3*, а следовательно еще большее снижение продолжительности жизни. Однако ни у самцов, ни у самок такого не наблюдалось, влияние увеличения экспрессии *GSK3* на продолжительность жизни было сходным в отсутствие и в присутствии нокдауна гена *aPKC*. Тем не менее, поскольку продолжительность жизни была очень низкой у мух всех генотипов с увеличенной экспрессией *GSK3*, сделать надежное заключение о взаимодействии генов *aPKC* и *GSK3* на основании полученных данных было трудно.

Чтобы преодолеть возникшее затруднение, мы использовали два подхода. Первый подход заключался в том, чтобы оценить влияние увеличенной экспрессии *GSK3* на фоне нокдауна *aPKC*

Таблица 1. Параметры, характеризующие продолжительность жизни самцов и самок с нокдауном гена *aPKC*

| Тип клеток (драйвер) | Линии с трансгенами | Пол | Вариант опыта | <i>N</i> | Средняя продолжительность жизни (ошибка средней), дни | Достоверность отличия от контрольного генотипа, тест Манна–Уитни* |
|-------------------------|-------------------------------------|-----|------------------|----------|--|---|
| Все нейроны (Д1) | Контроль_ <i>aPKC</i> +контроль_sgg | ♂ | Опыт 1 | 50 | 50 (2.4) | |
| | | | Опыт 2 | 50 | 61 (2.6) | |
| | | | Сумма | 100 | 56 (1.9) | |
| | | ♀ | Опыт 1 | 50 | 79 (2.6) | |
| | | | Опыт 2 | 50 | 77 (2.2) | |
| | | | Сумма | 100 | 78 (1.7) | |
| | aPKC_НД1+контроль_sgg | ♂ | Опыт 1 | 50 | 17 (1.9) | <0.0001 |
| | | | Опыт 2 | 50 | 19 (1.3) | <0.0001 |
| | | | Сумма | 100 | 18 (1.1) | <0.0001 |
| | | ♀ | Опыт 1 | 50 | 53 (2.3) | <0.0001 |
| | | | Опыт 2 | 50 | 50 (1.8) | <0.0001 |
| | | | Сумма | 100 | 51 (1.5) | <0.0001 |
| | aPKC_НД1+sggRB | ♂ | Опыт 1 | 1 | 2 | — |
| | | | Опыт 2 | 2 | 2 | — |
| | | | Сумма | 3 | 2 | 0.0032 |
| | | ♀ | Опыт 1 | 50 | 4 (2.4) | <0.0001 |
| | | | Опыт 2 | 50 | 3 (1.4) | <0.0001 |
| | | | Сумма | 100 | 4 (1.2) | <0.0001 |
| | aPKC_НД2+контроль_sgg | ♂ | Опыт 1 | 50 | 34 (2.6) | <0.0001 |
| | | | Опыт 2 | 50 | 18 (1.8) | <0.0001 |
| | | | Сумма | 100 | 26 (1.8) | <0.0001 |
| | | ♀ | Опыт 1 | 50 | 70 (2.6) | 0.0038 |
| | | | Опыт 2 | 50 | 66 (3.0) | 0.0165 |
| | | | Сумма | 100 | 68 (1.9) | 0.0003 |
| | aPKC_НД2+sggRB | ♂ | Опыт 1 | 50 | 3 (0.2) | <0.0001 |
| | | | Опыт 2 | 50 | 2 (0.1) | <0.0001 |
| | | | Сумма | 100 | 3 (0.1) | <0.0001 |
| | | ♀ | Опыт 1 | 50 | 4 (0.4) | <0.0001 |
| | | | Опыт 2 | 50 | 4 (0.4) | <0.0001 |
| | | | Сумма | 100 | 4 (0.3) | <0.0001 |

Таблица 1. Окончание

| Тип клеток (драйвер) | Линии с трансгенами | Пол | Вариант опыта | <i>N</i> | Средняя продолжительность жизни (ошибка средней), дни | Достоверность отличия от контрольного генотипа, тест Манна–Уитни* |
|-------------------------|----------------------------|-----|------------------|----------|--|---|
| Мотоней- роны (Д2) | Контроль_aPKC+контроль_sgg | ♂ | Опыт 1 | 50 | 73 (2.5) | |
| | | | Опыт 2 | 50 | 57 (2.6) | |
| | | | Сумма | 100 | 65 (1.9) | |
| | | ♀ | Опыт 1 | 50 | 76 (2.9) | |
| | | | Опыт 2 | 50 | 85 (1.9) | |
| | | | Сумма | 100 | 81 (1.8) | |
| | aPKC_HD1+контроль_sgg | ♂ | Опыт 1 | 50 | 57 (1.7) | <0.0001 |
| | | | Опыт 2 | 50 | 47 (2.4) | <0.0001 |
| | | | Сумма | 100 | 52 (1.6) | <0.0001 |
| | | ♀ | Опыт 1 | 50 | 70 (2.6) | 0.0331 |
| | | | Опыт 2 | 50 | 77 (2.5) | 0.0059 |
| | | | Сумма | 100 | 74 (1.8) | 0.0005 |
| | aPKC_HD1+sggRB | ♂ | Опыт 1 | 50 | 25 (1.3) | <0.0001 |
| | | | Опыт 2 | 50 | 27 (1.3) | <0.0001 |
| | | | Сумма | 100 | 26 (0.9) | <0.0001 |
| | | ♀ | Опыт 1 | 50 | 60 (1.6) | 0.0004 |
| | | | Опыт 2 | 50 | 66 (1.9) | 0.0006 |
| | | | Сумма | 100 | 63 (1.3) | <0.0001 |
| | aPKC_HD2+контроль_sgg | ♂ | Опыт 1 | 50 | 54 (3.4) | <0.0001 |
| | | | Опыт 2 | 50 | 35 (2.4) | <0.0001 |
| | | | Сумма | 100 | 45 (2.3) | <0.0001 |
| | | ♀ | Опыт 1 | 50 | 68 (1.9) | 0.0014 |
| | | | Опыт 2 | 50 | 73 (2.6) | <0.0001 |
| | | | Сумма | 100 | 70 (1.6) | <0.0001 |
| | aPKC_HD2+sggRB | ♂ | Опыт 1 | 50 | 32 (2.1) | <0.0001 |
| | | | Опыт 2 | 50 | 22 (1.9) | 0.0006 |
| | | | Сумма | 100 | 27 (1.5) | <0.0001 |
| | | ♀ | Опыт 1 | 50 | 63 (1.8) | 0.0388 |
| | | | Опыт 2 | 50 | 66 (2.8) | 0.0827 |
| | | | Сумма | 100 | 64 (1.7) | 0.0093 |

* Продолжительность жизни сравнивали у гибридов от скрещивания между линиями-драйверами Д1 или Д2 и следующими линиями с трансгенами: контроль_aPKC+контроль_sgg и aPKC_HD1+контроль_sgg; aPKC_HD1+контроль_sgg и aPKC_HD1+sggRB; контроль_aPKC+контроль_sgg и aPKC_HD2+контроль_sgg; aPKC_HD2+контроль_sgg и aPKC_HD2+sggRB. Описание генотипов см. разделы “Материалы и методы” и “Результаты”.

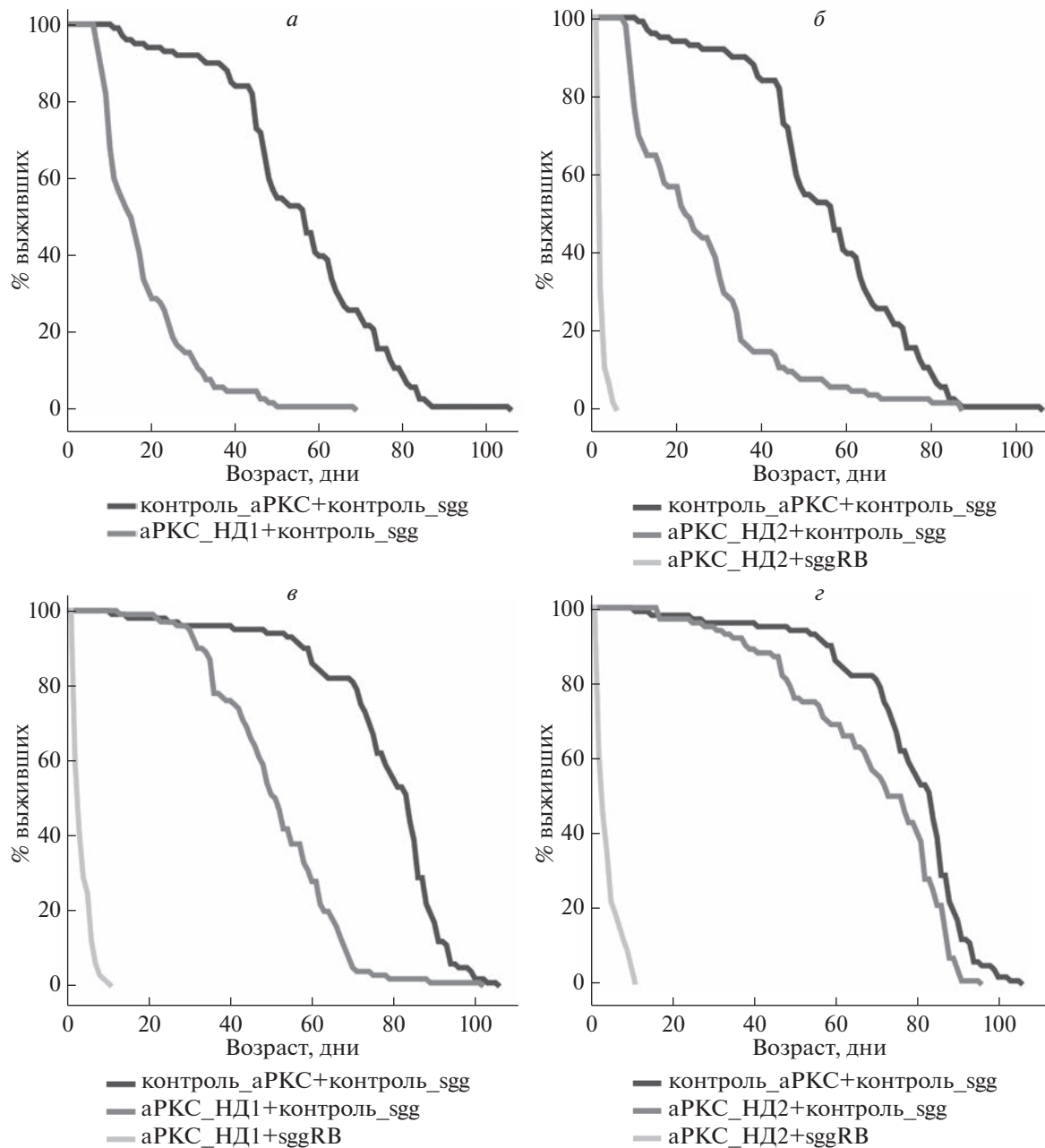


Рис. 1. Влияние нокдауна гена *aPKC*, вызванного трансгенами во всех нейронах, на продолжительность жизни самцов (*a*, *б*) и самок (*в*, *г*). Продолжительность жизни сравнивали у гибридов от скрещивания между линиями-драйверами D1 или D2 и линиями с трансгенами. Описание генотипов см. разделы “Материалы и методы” и “Результаты”.

во всех нейронах не на продолжительность жизни, а на свойства нервной системы, поскольку ранее мы показали, что при увеличении уровня экспрессии GSK3 во всех нейронах эти признаки меняются согласованно [13].

Известно, что GSK3 и *aPKC* влияют на различные свойства нейронов [19, 22–24]. В частности, ранее мы показали, что увеличение уровня экспрессии GSK3 во всех нейронах приводит к достоверному уменьшению количества зон актив-

ных синаптических контактов в нейромышечных связках самок [13]. Синаптическая активность является одним из интегральных показателей работы нервной системы, а нейромышечные связки личинок дрозофилы часто используются в качестве модельной системы для изучения функции синапсов [25]. Поэтому чтобы оценить, как взаимодействуют GSK3 и *aPKC* в процессе контроля свойств нервной системы, мы измерили количество зон активных синаптических контактов у самок,

полученных от скрещивания между самцами линий *aPKC_HD1+контроль_sgg* или *aPKC_HD1+sggRB* и самками линии-драйвера, индуцирующего экспрессию трансгенов во всех нейронах. Как и при изучении продолжительности жизни, полученные результаты о влиянии GSK3 на активность синапсов в присутствии нокдауна гена *aPKC* были сопоставлены с ранее полученными данными о таком влиянии в отсутствие нокдауна гена *aPKC* [13].

Увеличение экспрессии гена *sgg*, кодирующего GSK3, во всех нейронах приводило к достоверному снижению количества зон активных синаптических контактов у самок, со 158 ± 4.2 до 89 ± 3.0 [13]. Количество зон активных синаптических контактов у самок с увеличенной экспрессией GSK3 во всех нейронах составило, таким образом, 58% от контрольного. Количество зон активных синаптических контактов у самок с увеличенной экспрессией GSK3 на фоне уменьшенной экспрессии *aPKC* во всех нейронах также снижалось со 117 ± 9 до 66 ± 11 (рис. 2) и составило 55% от контрольного. Если *aPKC* является ингибитором GSK3 [21], то в наших опытах у особей с увеличенной экспрессией GSK3 на фоне нокдауна гена *aPKC* должно было наблюдаться еще большее увеличение активности GSK3, а следовательно еще большее снижение активности синапсов. Однако этого не произошло, и у самок с увеличенной экспрессией GSK3 во всех нейронах активность синапсов уменьшилась одинаково в отсутствие и в присутствии нокдауна гена *aPKC*. Этот результат хорошо соответствует описанному выше характеру влияния увеличенной экспрессии GSK3 в отсутствие и в присутствии нокдауна гена *aPKC* на продолжительность жизни. Таким образом, исследование взаимодействия *aPKC* и GSK3 в нейронах указывает на то, что *aPKC* не влияет на эффекты GSK3 в отношении активности синапсов и продолжительности жизни. Полученные результаты нельзя также объяснить аддитивным действием измененной экспрессии двух протеинкиназ.

Второй подход заключался в том, что мы индуцировали экспрессию трансгенов в мотонейронах, поскольку ранее было показано, что увеличение экспрессии гена *sgg* в этих клетках снижает продолжительность жизни, но не так сильно, как увеличение экспрессии гена *sgg* во всех нейронах [13]. Оказалось, что уменьшение количества *aPKC* в мотонейронах снизило продолжительность жизни как самцов, так и самок, но менее значительно, чем в случае уменьшения количества *aPKC* во всех нейронах (на 20 и 9% в случае *aPKC_HD1* и на 31 и 14% в случае *aPKC_HD2*; табл. 1, рис. 3). Этот эффект усилился в том случае, когда уменьшение количества *aPKC* в мотонейронах происходило на фоне увеличения количества GSK3 (табл. 1, рис. 3). Увеличение экспрессии GSK3 в мотонейронах само по себе также приводило к

снижению средней продолжительности жизни самцов и самок [13]. Учитывая эти факты, можно заключить, что закономерности влияния нокдауна *aPKC* на продолжительность жизни в отсутствие и в присутствии изменений в уровне экспрессии GSK3 в мотонейронах и во всех нейронах совпали.

Таким образом, изменение продолжительности жизни, вызванное нарушением экспрессии исследуемых протеинкиназ и во всех нейронах, и отдельно в мотонейронах, соответствовало как гипотезе об ингибиции действия GSK3 на *aPKC*, так и гипотезе об их независимом, аддитивном влиянии на исследуемый признак. Влияние GSK3 на *aPKC* и совместное действие двух протеинкиназ на продолжительность жизни было одинаковым у самцов и самок.

Средняя продолжительность жизни самцов и самок с увеличенной экспрессией GSK3 в мотонейронах составила 65 и 75% от средней продолжительности жизни соответствующего контроля [13]; средняя же продолжительность жизни самцов и самок с увеличенной экспрессией GSK3 на фоне уменьшенной экспрессии *aPKC* в мотонейронах составила 55 и 88% от средней продолжительности жизни соответствующего контроля. Таким образом, увеличение экспрессии GSK3 на фоне нокдауна гена *aPKC* в мотонейронах самцов привело к усилению отрицательного влияния на продолжительность жизни. Этот результат соответствует как гипотезе о том, что *aPKC* является ингибитором GSK3, так и гипотезе об аддитивности эффектов двух протеинкиназ. У самок со сниженной экспрессией *aPKC* в мотонейронах наблюдалось определенное смягчение отрицательного влияния увеличенной экспрессии GSK3 на продолжительность жизни. Такой результат невозможно объяснить независимым, аддитивным действием двух исследуемых протеинкиназ. Следовательно, можно говорить о том, что влияние уровня экспрессии GSK3 в мотонейронах на продолжительность жизни самок зависит от *aPKC*. Однако такой результат предполагает существование какого-то сложного, возможно непрямого взаимодействия между двумя белками.

Обобщая полученные результаты, можно сказать, что изменение продолжительности жизни, вызванное нарушением экспрессии исследуемых протеинкиназ во всех нейронах самцов и самок и отдельно в мотонейронах самцов, с наибольшей вероятностью соответствовало гипотезе об ингибирующем действии GSK3 на *aPKC* и отсутствии влияния *aPKC* на GSK3. В то же время характер изменения продолжительности жизни, возникающего в результате измененной экспрессии *aPKC* и GSK3 в мотонейронах самок, предполагает существование пока неизвестных механизмов взаимодействия между исследуемыми протеинкиназами.

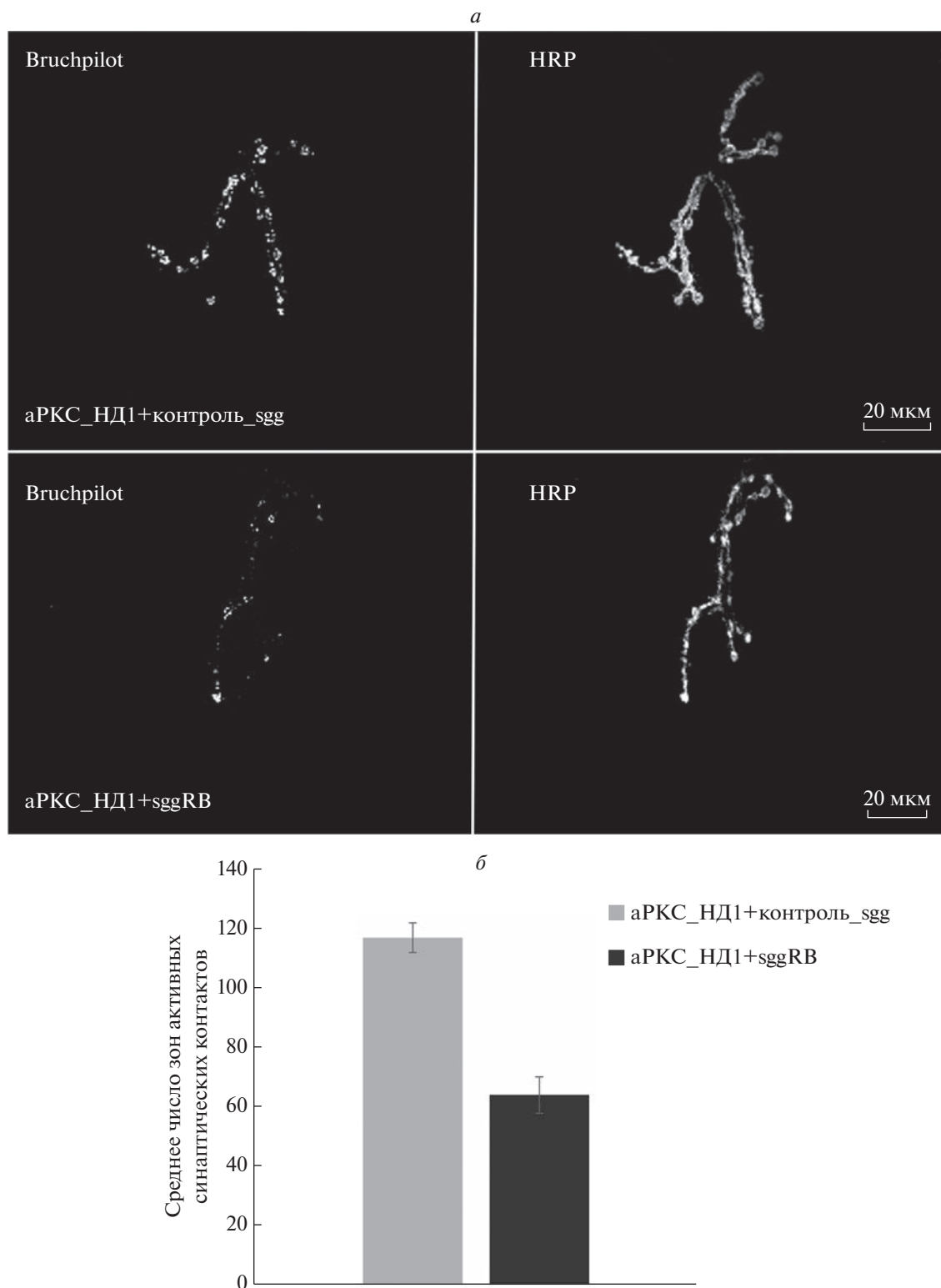


Рис. 2. Влияние нокдауна гена *aPKC* во всех нейронах на активность синапсов у самок. Число зон активных синаптических контактов сравнивали у гибридов от скрещивания между линией-драйвером D1 и линиями с трансгенами. Описание генотипов см. разделы “Материалы и методы” и “Результаты”. Препарат нейромышечных связок личинок окрашивали антителами к пероксидазе хрина, маркеру пресинаптических мембран, и белку Bruchpilot, специфичному для зон активных синаптических контактов, белые точки (*a*). Достоверность различия от контрольного генотипа, *t*-тест: $P < 0.001$ (*б*).

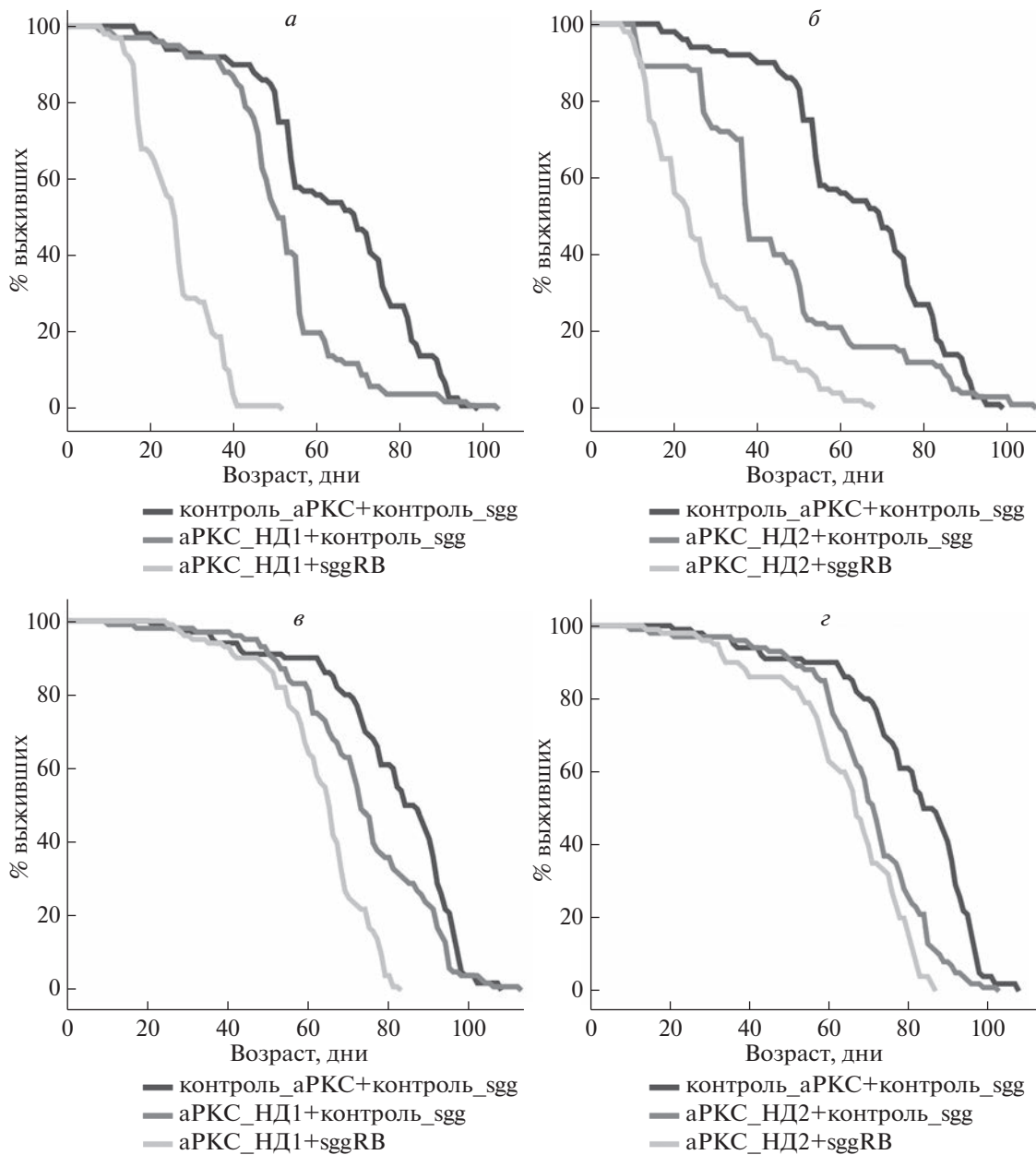


Рис. 3. Влияние нокдауна гена *aPKC* в мотонейронах на продолжительность жизни самцов (*а, б*) и самок (*в, г*). Продолжительность жизни сравнивали у гибридов от скрещивания между линиями-драйверами D1 или D2 и линиями с трансгенами. Описание генотипов см. разделы “Материалы и методы” и “Результаты”.

ОБСУЖДЕНИЕ

В ранее проведенных пилотных экспериментах мы показали, что снижение уровня экспрессии гена *aPKC* в мотонейронах приводит к уменьшению продолжительности жизни самцов [14]. В настоящей статье представлены результаты более детального изучения роли нейрональной экспрессии *aPKC* в контроле продолжительности жизни, которые подтвердили и существенно расширили

имевшиеся данные. Как и ожидалось, уменьшение экспрессии *aPKC* во всех нейронах оказалось большее влияние на продолжительность жизни, чем уменьшение экспрессии протеинкиназы в мотонейронах. И в том, и в другом случае степень уменьшения продолжительности жизни зависела от пола — у самцов эффект был более сильным, чем у самок. Зависимость эффекта от пола не раз была отмечена в наших работах, в том числе при изменении уровня экспрессии GSK3 [13, 14], и в

работах других ученых [26], однако причины такого диморфизма пока остаются неясными.

В настоящей работе были использованы две разные линии дрозофилы, вызывающие нокдаун гена *aPKC* в результате РНК-интерференции. На качественном уровне влияние нокдауна *aPKC*, вызванного трансгенами, находящимися в разных линиях, на продолжительность жизни оказалось одинаковым. Это важно, поскольку сделанные в работе выводы основаны на двух независимых вариантах опытов. Однако на количественном уровне эффекты двух разных трансгенов различались. Такие отличия могут быть связаны с тем, что трансгены влияют на разные транскрипты гена *aPKC*: *aPKC_HD1* – на все 12 аннотированных транскриптов (<https://flybase.org/reports/FBal0323907.html>), а *aPKC_HD2* – только на транскрипты *RG* и *RJ* (<https://flybase.org/reports/FBal0278807.html>). Эта характеристика трансгенов хорошо соответствует тому факту, что индукция *aPKC_HD1* во всех нейронах снизила продолжительность жизни сильнее, чем индукция *aPKC_HD2*. Однако индукция *aPKC_HD1* в мотонейронах вызвала меньший эффект, чем индукция *aPKC_HD2*. Этот факт можно объяснить, если предположить, что в мотонейронах наиболее важна экспрессия именно *RG* и/или *RJ*, а *aPKC_HD2* нарушает ее сильнее, чем *aPKC_HD1*, поскольку малые интерферирующие РНК в первом случае расходуются только на эти два транскрипта, а во втором – на все 12. Конечно, это объяснение является механистическим и нуждается в экспериментальной проверке. В целом о функциях разных транскриптов гена *aPKC* у дрозофилы практически ничего не известно, и для выяснения роли каждого из них нужны дальнейшие исследования.

Наиболее интересным нам представлялся вопрос о том, взаимодействуют ли между собой гены/белки *aPKC/aPKC* и *sgg/GSK3* в ходе контроля продолжительности жизни. Роль *sgg/GSK3* в контроле продолжительности жизни была подробно исследована нами ранее [12–14]. Взаимодействие между *aPKC* и *GSK3* также было экспериментально продемонстрировано в ряде работ. Так, было убедительно показано, что у дрозофилы *GSK3* способна фосфорилировать *aPKC*, что может приводить к ее протеасомной деградации и, таким образом, ингибированию в ходе асимметричного деления эмбриональных нейробластов [9] и клеток эмбрионального эпителия [27]. Мы предположили, что такое же взаимодействие между двумя протеинкиназами может играть роль и в контроле продолжительности жизни, участие в котором каждой из них мы уже показали. Действительно, генетические эксперименты, описанные в настоящей статье, указывают на ингибирующую

действие *GSK3* на *aPKC* и в этом случае. В ходе контроля асимметричного деления клеток и клеточной полярности *GSK3* взаимодействует с *aPKC*, находящейся в комплексе *Par6–Baz–aPKC*. Связано ли совместное влияние *GSK3* и *aPKC* на продолжительность жизни с этим комплексом остается пока неясным.

В ряде опубликованных работ можно найти указания на то, что *aPKC*, в свою очередь, также способна фосфорилировать аминокислотные остатки, определяющие уровень активности *GSK3*, и таким образом ингибировать ее [21]. Кроме того, оказалось, что комплекс *Par6–aPKC* регулирует гибель и/или пролиферацию клеток: нарушение экспрессии *Par6* подавляет *aPKC* и повышает активность ее мишени, *GSK3*, приводя к усилению апоптоза [28]. Наши генетические эксперименты, однако, не выявили ингибирующего действия *aPKC* на *GSK3* в ходе контроля продолжительности жизни. Возможно, участие *aPKC* и *GSK3* в контроле продолжительности жизни не связано с их взаимодействием с *Par6–aPKC*-комплексом. Стоит отметить также, что наши эксперименты позволяют оценить взаимодействие *aPKC* и *GSK3* не в норме, а в условиях подавления/усиления экспрессии кодирующих их генов. Нельзя исключить, что в этом случае характер взаимодействия двух белков может отличаться от нормального. Правда, и в упомянутых выше работах других авторов взаимодействие белков было проанализировано у особей с измененным уровнем их экспрессии.

Мы показали, что уменьшение уровня экспрессии *aPKC* в нервной системе приводит к уменьшению продолжительности жизни, но пока неясно, каким может быть эффект увеличения уровня экспрессии *aPKC*. Известны гены (например, кодирующие белки, участвующие в детоксикации активных форм кислорода), увеличение экспрессии которых приводит к увеличению продолжительности жизни (<https://genomics.senescence.info/genes/index.html>). Кажется наиболее вероятным, однако, что любое сильное нарушение экспрессии генов, кодирующих такие многофункциональные белки как *aPKC* и *GSK3*, должно приводить к многочисленным сбоям в работе клеток и уменьшению продолжительности жизни. В то же время можно ожидать, что небольшие изменения экспрессии этих генов могут быть связаны с тонкой перенастройкой работы клеток и увеличением продолжительности жизни. Так, ранее мы показали, что небольшое снижение активности *GSK3* в дофаминergicеских нейронах связано с увеличением продолжительности жизни самок [14]. Можно предположить, что увеличение уровня экспрессии *aPKC* в дофаминergicеских

нейронах самок приведет к частичному ингибированию активности GSK3 и вследствие этого к увеличению продолжительности жизни. Экспериментальная проверка этого предположения позволит лучше понять, влияет ли аРКС на GSK3 в процессе контроля продолжительности жизни.

Регуляция механизмов клеточной полярности является одним из наиболее охарактеризованных процессов, в которых взаимодействуют GSK3 и аРКС, в том числе фосфорилируя общие мишени, такие как белок Par-1. На локализацию белка Par-1, вовлеченного в определение полярности клеточных компонентов Baz и Par-6 в эпителиальных клетках и ооцитах плодовой мушки, влияет фосфорилирование протеинкиназой аРКС [29]; одновременно с этим Par-1 является непосредственной мишенью фосфорилирования GSK3 [30]. Par-1 претендует на роль связующего звена между GSK3 и аРКС и в других молекулярных процессах, таких как Wnt-каскад [31]. В процессе регуляции работы ассоциированных с микротрубочками белков (MAP) одной из мишеней фосфорилирования киназами Par-1 и GSK3 является белок Tau [32, 33]. Стоит отметить, что белок Tau является одной из перспективных мишеней в изучении молекулярных основ ассоциированных со старением заболеваний нервной системы.

В настоящее время сведения о взаимодействии аРКС и GSK3 носят достаточно ограниченный характер и касаются их совместной работы лишь в ходе регуляции отдельных процессов. Тем не менее даже имеющиеся факты свидетельствуют о том, что взаимодействие между аРКС и GSK3 может быть достаточно сложным и неоднозначным. Наши генетические эксперименты также свидетельствуют о том, что в мотонейронах самок, например, взаимодействие между аРКС и GSK3 может быть достаточно сложным. Исследование влияния уровня экспрессии аРКС и GSK3 в мотонейронах самок на продолжительность жизни представляется особенно интересным, поскольку ранее мы показали, что небольшое увеличение активности GSK3 в них приводит к увеличению продолжительности жизни [14]. Выяснение механизмов взаимодействия между аРКС, GSK3 и другими их партнерами позволит углубить и расширить наши представления о причинах долголетия и способах продления жизни.

Мы выражаем глубокую признательность Центру культур *Drosophila* (Блюмингтон, США, <https://bdsc.indiana.edu/index.html>) за многолетнее содействие нашим исследованиям. Работа выполнена с использованием оборудования Центра коллективного пользования научным оборудованием НИЦ “Курчатовский институт” – ИМГ.

Работа была поддержана грантом РФФИ № 19-34-80042-мол_эв_а и Государственным заданием НИЦ “Курчатовский институт” – ИМГ, регистрационный № 121030200227.

Все применимые международные, национальные и/или институциональные принципы ухода и использования животных были соблюдены.

Авторы заявляют, что у них нет конфликта интересов.

СПИСОК ЛИТЕРАТУРЫ

1. López-Otín C., Blasco M.A., Partridge L. et al. The hallmarks of aging // Cell. 2013. V. 153. № 6. P. 1194–1217. <https://doi.org/10.1016/j.cell.2013.05.039>
2. Hipp M.S., Kasturi P., Hartl F.U. The proteostasis network and its decline in ageing // Nat. Rev. Mol. Cell Biol. 2019. V. 20. № 7. P. 421–435. <https://doi.org/10.1038/s41580-019-0101-y>
3. Vilchez D., Boyer L., Morante I. et al. Increased proteasome activity determines human embryonic stem cell identity // Nature. 2012. V. 489. № 7415. P. 304–308. <https://doi.org/10.1038/nature11468>
4. Schröter F., Adjaye J. The proteasome complex and the maintenance of pluripotency: Sustain the fate by mopping up? // Stem Cell Research & Therapy. 2014. V. 5. № 1. P. 24. <https://doi.org/10.1186/scrt413>
5. Moore D., Pilz G., Araúzo-Bravo M. et al. A mechanism for the segregation of age in mammalian neural stem cells // Science. 2015. V. 349. № 6254. P. 1334–1338. <https://doi.org/10.1126/science.aac9868>
6. Loyer N., Januschke J. Where does asymmetry come from? Illustrating principles of polarity and asymmetry establishment in *Drosophila* neuroblasts // Curr. Opinion in Cell Biology. 2020. V. 62. P. 70–77. <https://doi.org/10.1016/j.ceb.2019.07.018>
7. Gallaud E., Pham T., Cabernard C. *Drosophila melanogaster* neuroblasts: A model for asymmetric stem cell divisions // Results Probl. Cell Differ. 2017. V. 61. P. 183–210. https://doi.org/10.1007/978-3-319-53150-2_8
8. Shao C.Y., Crary J.F., Rhaoo C. et al. Atypical protein kinase C in neurodegenerative disease II: PKCιota/λambda in tauopathies and alpha-synucleinopathies // J. Neuropathol. Exp. Neurol. 2006. V. 65. № 4. P. 327–335. <https://doi.org/10.1097/01.jnen.0000218441.00040.82>
9. Colosimo P.F., Liu X., Kaplan N.A., Tolwinski N.S. GSK3beta affects apical-basal polarity and cell-cell adhesion by regulating aPKC levels // Dev. Dyn. 2010. V. 239. № 1. P. 115–125. <https://doi.org/10.1002/dvdy.21963>
10. Beurel E., Grieco S.F., Jope R.S. Glycogen synthase kinase-3 (GSK3): Regulation, actions, and diseases // Pharmacol. Ther. 2015. V. 148. P. 114–131. <https://doi.org/10.1016/j.pharmthera.2014.11.016>

11. Souder D.C., Anderson R.M. An expanding GSK3 network: Implications for aging research // *Geroscience*. 2019. V. 41. № 4. P. 369–382.
<https://doi.org/10.1007/s11357-019-00085-z>
12. Тростников М.В., Веселкина Е.Р., Кременцова А.В. и др. Инсерционные мутации гена shaggy, кодирующего протеинкиназу GSK3, увеличивают продолжительность жизни *Drosophila melanogaster* // Генетика. 2019. Т. 55. № 9. С. 1099–1104.
<https://doi.org/10.1134/S0016675819090170>
13. Trostnikov M.V., Roshina N.V., Boldyrev S.V. et al. Disordered expression of shaggy, the *Drosophila* gene encoding a serine-threonine protein kinase GSK3, affects the lifespan in a transcript-, stage-, and tissue-specific manner // *Int. J. Mol. Sci.* 2019. V. 20. № 9.
<https://doi.org/10.3390/ijms20092200>
14. Trostnikov M.V., Veselkina E.R., Krementsova A.V. et al. Modulated expression of the protein kinase GSK3 in motor and dopaminergic neurons increases female lifespan in *Drosophila melanogaster* // *Front. Genet.* 2020. V. 11.
<https://doi.org/10.3389/fgene.2020.00668>
15. Bourouis M. Targeted increase in shaggy activity levels blocks wingless signaling // *Genesis*. 2002. V. 34. № 1–2. P. 99–102.
<https://doi.org/10.1002/gene.10114>
16. Wilmoth J.R., Horiuchi S. Rectangularization revisited: Variability of age at death within human populations // *Demography*. 1999. V. 36. № 4. P. 475–495.
17. Carey J.R. Longevity: The Biology and Demography of Lifespan. Princeton, NJ: Princeton Univ. Press, 2003.
18. Wagh D.A., Rasse T., Asan E. et al. Bruchpilot, a protein with homology to ELKS/CAST, is required for structural integrity and function of synaptic active zones in *Drosophila* // *Neuron*. 2006. V. 49. № 6. P. 833–844.
<https://doi.org/10.1016/j.neuron.2006.02.008>
19. Franco B., Bogdanik L., Bobinnec Y. et al. Shaggy, the homolog of glycogen synthase kinase 3, controls neuromuscular junction growth in *Drosophila* // *J. Neurosci.* 2004. V. 24. № 29. P. 6573–6577.
<https://doi.org/10.1523/JNEUROSCI.1580-04.2004>
20. McGraw E.A., O'Neill S.L. Wolbachia pipiensis: Intracellular infection and pathogenesis in *Drosophila* // *Curr. Opin. Microbiol.* 2004. V. 7. № 1. P. 67–70.
<https://doi.org/10.1016/j.mib.2003.12.003>
21. Moore S.F., van den Bosch M.T.J., Hunter R.W. et al. Dual regulation of glycogen synthase kinase 3 (GSK3) α/β by protein kinase C (PKC) α and Akt promotes thrombin-mediated Integrin α IIb β 3 activation and granule secretion in platelets // *J. Biol. Chem.* 2013. V. 288. № 6. P. 3918–3928.
<https://doi.org/10.1074/jbc.M112.429936>
22. Hapak S.M., Rothlin C.V., Ghosh S. aPKC in neuronal differentiation, maturation and function // *Neuronal Signal*. 2019. V. 3. № 3. P. NS20190019.
<https://doi.org/10.1042/NS20190019>
23. Cuest G., Jordán-Álvarez S., Enriquez-Barreto L. et al. GSK3 β inhibition promotes synaptogenesis in *Drosophila* and mammalian neurons // *PLoS One*. 2015. V. 10. № 3. P. e0118475.
<https://doi.org/10.1371/journal.pone.0118475>
24. Chiang A., Priya R., Ramaswami M. et al. Neuronal activity and Wnt signaling act through Gsk3-beta to regulate axonal integrity in mature *Drosophila* olfactory sensory neurons // *Development*. 2009. V. 136. № 8. P. 1273–1282.
<https://doi.org/10.1242/dev.031377>
25. Ruiz-Cañada C., Budnik V. Introduction on the use of the *Drosophila* embryonic/larval neuromuscular junction as a model system to study synapse development and function, and a brief summary of pathfinding and target recognition // *Int. Rev. Neurobiol.* 2006. V. 75. P. 1–31.
[https://doi.org/10.1016/S0074-7742\(06\)75001-2](https://doi.org/10.1016/S0074-7742(06)75001-2)
26. Tower J. Sex-specific gene expression and lifespan regulation // *Trends Endocrinol. Metab.* 2017. V. 28. № 10. P. 735–747.
<https://doi.org/10.1016/j.tem.2017.07.002>
27. Kaplan N.A., Colosimo P.F., Liu X., Tolwinski N.S. Complex interactions between GSK3 and aPKC in *Drosophila* embryonic epithelial morphogenesis // *PLoS One*. 2011. V. 6. № 4. P. e18616.
<https://doi.org/10.1371/journal.pone.0018616>
28. Kim M., Datta A., Brakeman P. et al. Polarity proteins PAR6 and aPKC regulate cell death through GSK-3 β in 3D epithelial morphogenesis // *J. Cell Sci.* 2007. V. 120. № 14. P. 2309–2317.
<https://doi.org/10.1242/jcs.007443>
29. Jiang H., McKinley R.F.A., McGill M.A. et al. Both the establishment and the maintenance of neuronal polarity require active mechanisms: Critical roles of GSK-3 β and its upstream regulators // *Cell*. 2005. V. 120. № 1. P. 123–135.
<https://doi.org/10.1016/j.cell.2004.12.033>
30. Kosuga S., Tashiro E., Kajioka T. et al. GSK-3beta directly phosphorylates and activates MARK2/PAR-1 // *J. Biol. Chem.* 2005. V. 280. № 52. P. 42715–42722.
<https://doi.org/10.1074/jbc.M507941200>
31. Sun T.Q., Lu B., Feng J.J. et al. PAR-1 is a Dishevelled-associated kinase and a positive regulator of Wnt signalling // *Nat. Cell Biol.* 2001. V. 3. № 7. P. 628–636.
<https://doi.org/10.1038/35083016>
32. Nance J., Zallen J.A. Elaborating polarity: PAR proteins and the cytoskeleton // *Development*. 2011. V. 138. № 5. P. 799–809.
<https://doi.org/10.1242/dev.053538>
33. Nishimura I., Yang Y., Lu B. PAR-1 kinase plays an initiator role in a temporally ordered phosphorylation process that confers tau toxicity in *Drosophila* // *Cell*. Elsevier. 2004. V. 116. № 5. P. 671–682.
[https://doi.org/10.1016/s0092-8674\(04\)00170-9](https://doi.org/10.1016/s0092-8674(04)00170-9)

The Effect of the *aPKC* Gene Encoding Atypical Protein Kinase C on the Lifespan of *Drosophila melanogaster* Depends on the Expression Level of Protein Kinase GSK3

M. V. Trostnikov^a, *, E. R. Veselkina^a, Y. A. Andreev^a,
A. Y. Khryachkova^a, N. V. Roshina^{a, b}, and E. G. Pasyukova^a

^aInstitute of Molecular Genetics of the National Research Centre “Kurchatov Institute”, Moscow, 123182 Russia

^bVavilov Institute of General Genetics, Russian Academy of Sciences, Moscow, 119991 Russia

*e-mail: mikhail.trostnikov@gmail.com

Drosophila melanogaster shaggy and *aPKC* genes encode highly conserved GSK3 (Glycogen Syntase Kinase 3) and aPKC (Protein Kinase C) protein kinases that play key roles in many cellular processes. We previously demonstrated that changes in *shaggy* expression in neurons affect lifespan. In this article we show that changing the expression of the *aPKC* gene in neurons also affects lifespan. Changing the expression of the two protein kinases in all male or female neurons and in male motoneurons led to changes in lifespan, indicating that aPKC has no effect on GSK3 and GSK3 has a possible inhibitory effect on aPKC. At the same time, changes in the expression of two protein kinases in female motoneurons led to changes in lifespan, indicating the existence of a still unclear mechanism of interaction between these proteins. The elucidation of the mechanisms of interaction between aPKC, GSK3 and their other partners will deepen and expand our understanding of the causes of longevity and the ways to extend life.

Keywords: lifespan, nervous system, protein kinase aPKC, protein kinase GSK3, *Drosophila melanogaster*.